

Кинематика механизмов.

К разделу II программы.

БИБЛИОТЕКА

КАРДИНАЛСКИЙ
ИМПЕРАТОРСКИЙ

II. Кинематическое исследование механизмов методом диаграмм. Кинематическое исследование механизмов производят методами: экспериментальным, аналитическим и графическим. Аналитический метод, хотя и наиболее точный, применяется лишь в простейших случаях.

В практике встречаются механизмы (механизмы широкомоторных машин), траектории точек которых имеют кривые выше 3000 порядка. Ясно, что исследовать движение этих точек аналитическим способом совершенно невозможно.

Графический метод исследования в свою очередь распадается на два: метод планов скоростей и ускорений и метод диаграмм.

Метод планов скоростей и ускорений дает, сравнительно, точные результаты, но, давая картину распределения скоростей и ускорений во всех точках механизма в данный момент, не дает картины изменения скорости и ускорения какой либо одной точки механизма с течением времени.

Метод диаграмм дает именно последние картины.

Рассмотрим построение различных диаграмм на от-

дельных примерах.

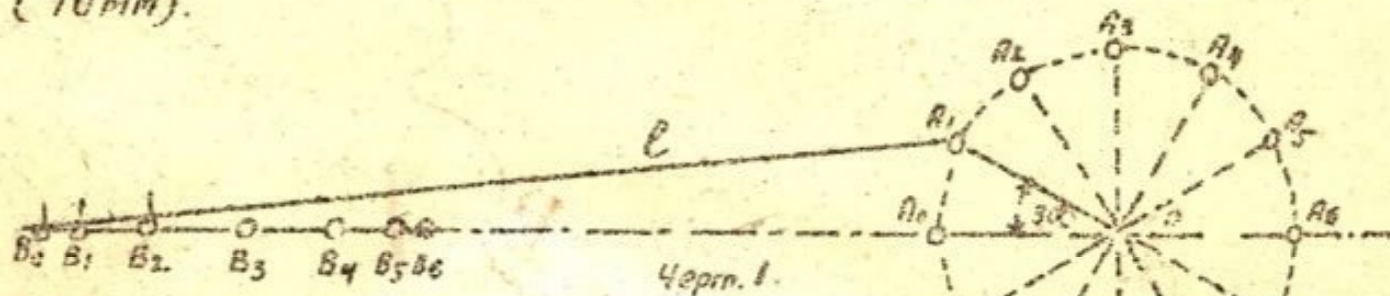
1. Построение дисаграммы (S.t.).

Так называется дисаграмма, выражающая зависимость перемещений точки от времени.

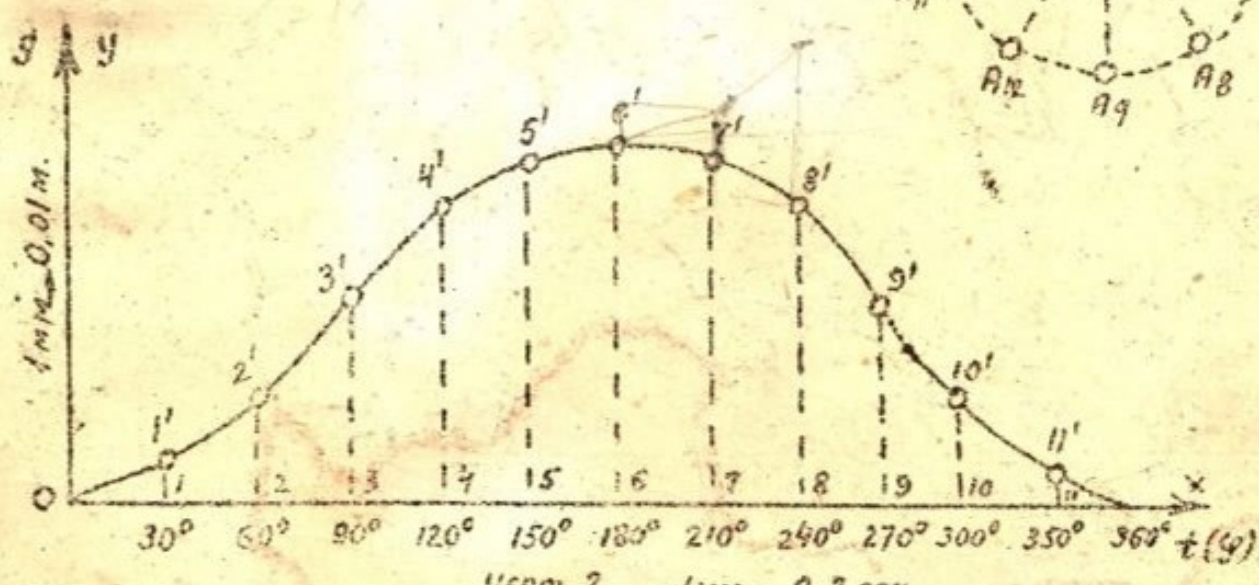
Пусть требуется построить дисаграмму перемещений ползуна B , кривошипно-шатунного механизма AOB (черт. 1) в зависимости от времени.

Дано: радиус кривошипа $r = 200$ мм; длина шатуна $\ell = 1000$ мм; число оборотов кривошипа $n = 250$ об/мин.

Для вычерчивания механизма принимают такой масштаб: 1 мм. длины чертежа соответствует 0,01 метра настуры (10мм).



Черт. 1.



Черт. 2 1мм - 0,2 сек.

Следовательно, на нашем чертеже радиус кривошипа выражается отрезком $= \frac{200}{10} = 20$ мм, а длина шатуна отрезком $\frac{1000}{10} = 100$ мм.

Ставя кривошип под разными углами (напр. $0^\circ, 30^\circ, 60^\circ$ и т.д.) к прямой OB_0 , мы одним из способов (способ засечек или спортивных линий) найдем перемещения точки B , от своего крайнего левого положения: B_0B_1 — перемещение, соответствующее повороту на 30° и т.д. (Перемещения у нас на чертеже определены:

способом засечек).

Для построения диаграммы (S,t) берем координатные оси (черт. 2) и на оси абсцисс будем откладывать время, а на оси ординат — пути (перемещения). Для определения масштаба времени найдем время поворота кривошипа на угол 30° . Кривошип делает 250 об/мин. или $\frac{250}{60} = \frac{25}{6}$ оборотов в секунду. След., один оборот (поворот 360°) он совершиет за $\frac{6}{25}$ секунды; тогда на 30° он повернется за $\frac{6 \cdot 30}{25 \cdot 360} = \frac{1}{50} = 0,02$ секунды.

Примем за масштаб времени $1\text{мм} \sim 0,2\text{сек}$. Тогда время по-вортка кривошипа на 30° будет выражаться отрезком длиною в 1см . Отложим по оси абсцисс 12см , что соответствует периоду полного оборота кривошипа. Проведя ординаты $1-1', 2-2', 3-3'$, и т.д., отложим на них отрезки соответственно равные B_0B_1, B_0B_2, B_0B_3 и т.д. ($1-1' = B_0B_1, 2-2' = B_0B_2$).

Соединяя точки $0, 1', 2', 3'$ и т.д. плавной линией, получим диаграмму (S,t), причем перемещения точки B отложены по ординатам в том же масштабе, в каком выражены наши механизмы, т.е. 1мм длины ординаты соответствуют $0,01\text{м.}$ действительной величине перемещения.

Масштабы времени и перемещений обозначаются и размещаются так, как показано у нас на черт. 2. В общем виде масштабы эти чаще всего выражаются через через α и $\bar{\tau}$ ($1\text{мм}/\text{м.}, 1\text{мм}/\text{сек.}$ черта заменяет слово "соответствует"). Ясно, что чем меньше α и $\bar{\tau}$, тем крупнее получится чертеж. Для масштабов существует определенный стандарт. Таблица ^{стандартных} масштабов.

...
0,001	0,002	0,005
0,01	0,02	0,05
0,1	0,2	0,5
1	2	5
10	20	50
100	200	500
чт.-г.	чт.-г.	чт.-г.

2. Построение диаграммы (V,t).

Так называется диаграмма, выраждающая зависимость скорости точки от времени. Эту диаграмму можно построить также, как и диаграмму (S,t), откладывая на ординатах скорости точки B , соответствующие данному времени или данному углу поворота кривошипа, что бываетично, если считать вращение кри-

движения \ddot{M} равномерным ($\alpha = \text{const}$, $\omega = \text{const}$). Скорости можно вычислять аналитически, или брать из планов скоростей, строят последние для различных положений механизма.

Здесь мы разберем построение кривой (\dot{y}, t) по заданной кривой (S, t) . Построение это наз. графическим дифференцированием. Для примера возьмем построение нами кривую (S, t) .

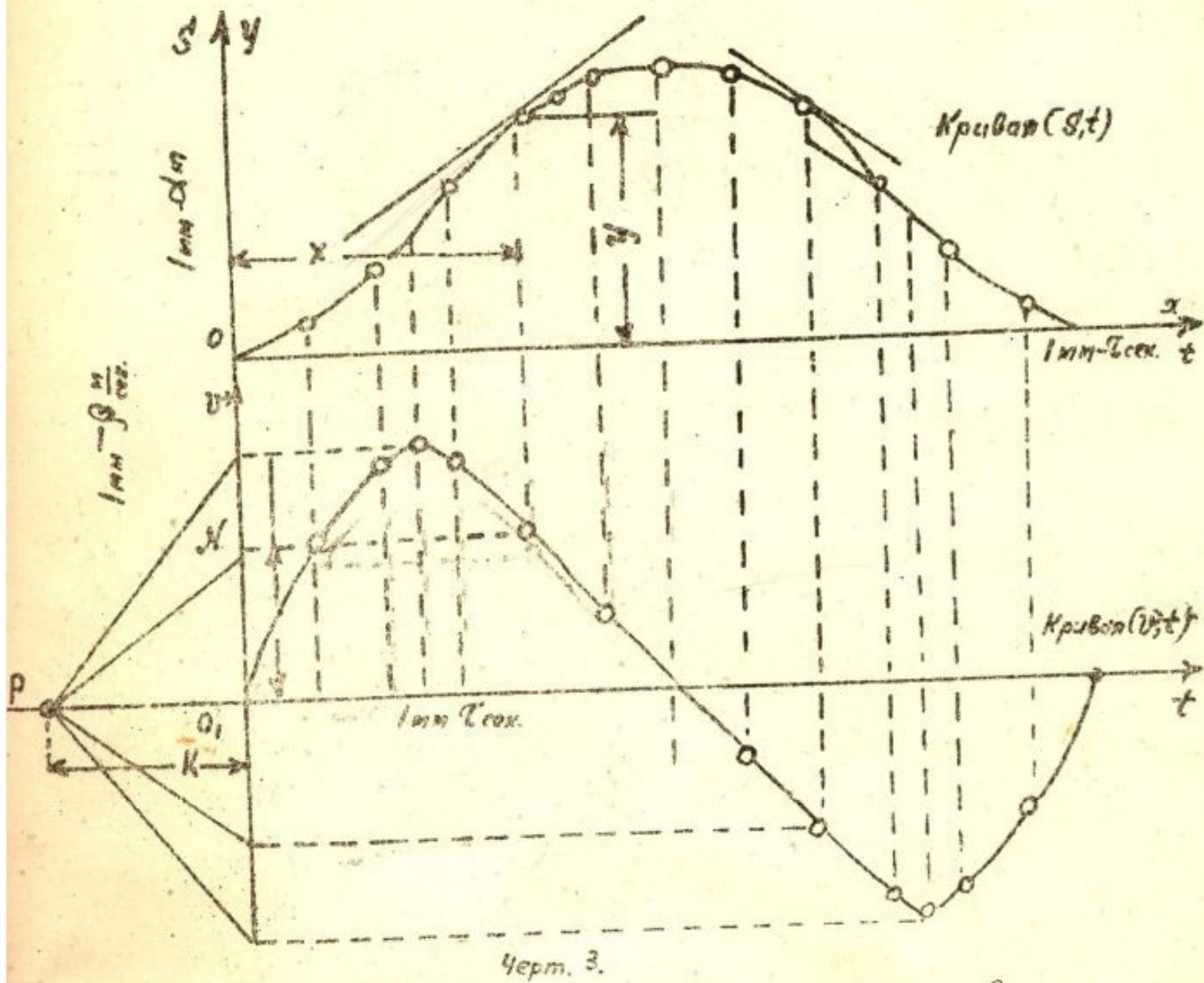
В общем случае кривая эта имеет таинство перемещений α , а местом в времени — T (черт. 3). Для произвольного момента времени t , выражаемого отрезком x , перемещение будет выражаться отрезком y , при том: $S = \alpha y$ и $t = Tx$; из этих уравнений получаем: $ds = \alpha dy$ и $dt = T dx$.

Следовательно, скорость \dot{y} точки B в рассматриваемый момент имеет величину $\dot{y} = \frac{ds}{dt} = \frac{\alpha \cdot dy}{T \cdot dx}$; проведя на диаграмме (S, t) касательную к кривой S в точке B , мы можем заменить $\frac{dy}{dx}$ через $\operatorname{tg} \varphi$, где φ — угол, образованный касательного с осью x биссектрисы.

Для построения диаграммы (\dot{y}, t) продоложим ось y вниз и через точку O , взятую на продолжении, проведем ось времени. Влево от точки O , отложим отрезок $OP = K$ мт и через точку P проведем линию PN , параллельную касательной в точке B . Отрезок $O, N = y' = K \operatorname{tg} \varphi$ мт, а потому $\dot{y} = \frac{\alpha \cdot y'}{T \cdot K} = \frac{\alpha}{T \cdot K} \cdot \frac{y'}{\operatorname{tg} \varphi}$. Следовательно, скорость точки B в рассматриваемый момент будет пропорциональна отрезку y' , выраженному в тех же единицах, в каких выражен отрезок K .

Коэффициент пропорциональности $\frac{\alpha}{T \cdot K} = \beta \frac{m}{\operatorname{сек.м.м.}}$ будет местом скорости т.е. $\dot{y} = \beta \cdot y' \frac{m}{\operatorname{сек.}}$. Проведя на диаграмме (S, t) касательные к различным точкам кривой, а через точку P проводя параллели этим касательным до пересечения с осью y , мы будем отсекать на ней отрезки, выраждающие в местах β скорости, соответствующие данным моментам времени.

Отрезки эти сносим горизонтальными прямыми на соответствующие ординаты и полученные точки соединяем плавной кривой, как показано на чертеже.



Черт. 3.

Отрезок K нужно выбрать такой длины, чтобы в поправку округленное число (для удобства вычислений величин скоростей по дисаграмме) и чтобы диаграмма не вышла за допустимые пределы чертежа. Очевидно что больше взято K , тем диаграмма (V,t) получится крупнее.

Аналогичным способом можно по дисаграмме (V,t) построить диаграмму (W,t) .

Имея диаграммы (S,t) , (V,t) и (W,t) можно сделать кинематический анализ механизма, т.е. можно сказать, каковы будут перемещения, скорости и ускорения ползунов, в при любом положении кривошипа, когда ползун имеет такие конечные и нулевые скорости и ускорения.

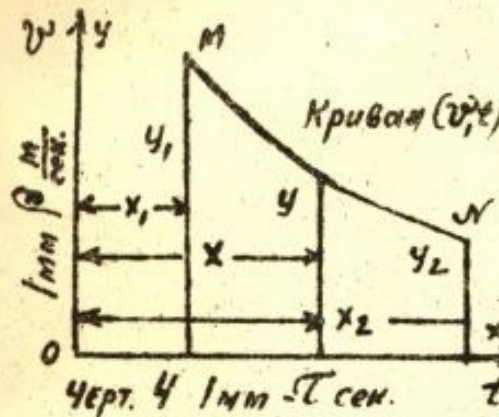
Практически иногда необходимо знать скорости и ускорения точки в зависимости от ее перемещения.

Такую зависимость дает диаграммы (S,V) и (S,W) .

Построение этих диаграмм по заданным диаграммам (S,t), (V,t) и (W,t) мы разберем ниже.

3. По данной диаграмме (V,t) построить диаграмму (S,t)

Задача обратная только, что рассматриваемой и наз. графичес-



Черт. 4 1мм - $\sqrt{\text{сек}}$.

ским интегрированием. Возьмем координатные оси XOY (черт. 4). Пусть кривая MN изображает диаграмму (V,t); масштаб скорости: 1мм - $\sqrt{\frac{m}{сек}}$; масштаб времени 1мм - $\sqrt{\text{сек}}$. (размерность $\sqrt{\frac{m}{сек\cdot м}}$; размерность $\sqrt{\text{сек}} = \frac{м}{мм}$.)

Если отрезком „ x “ обозначим произвольный момент времени „ t “, а соот-

ветствующую, ордината „ y “ будет выражать скорость V в этот момент, то $t = x\sqrt{\text{сек}}$ и $V = y\sqrt{\frac{m}{сек}}$. Соответственно с этим $t_n = x_1\sqrt{\text{сек}}$ и $t_k = x_2\sqrt{\text{сек}}$, где t_n - начальный момент времени, t_k - конечный момент времени.

Тогда на основании формулы $V = \frac{ds}{dt}$, будет иметь: $ds = Vdt$ и $S_k - S_n = \int_{t_n}^{t_k} V dt$; где S_n - начальное расстояние точки; S_k - конечное.

Обозначив разность $S_k - S_n$ сокращенно через S_{kn} (S_{kn} - путь, проходимый точкой за время $t_k - t_n$) и имея виду, что $V = \sqrt{y} \cdot \sqrt{d}$, $dt = \sqrt{d} dx$, получим $S_{kn} = \int_{t_n}^{t_k} V dt = \int_{x_1}^{x_2} \sqrt{y} \cdot \sqrt{d} \cdot \sqrt{d} dx = \sqrt{d} \int_{x_1}^{x_2} y dx = \sqrt{d} f_{12}$.

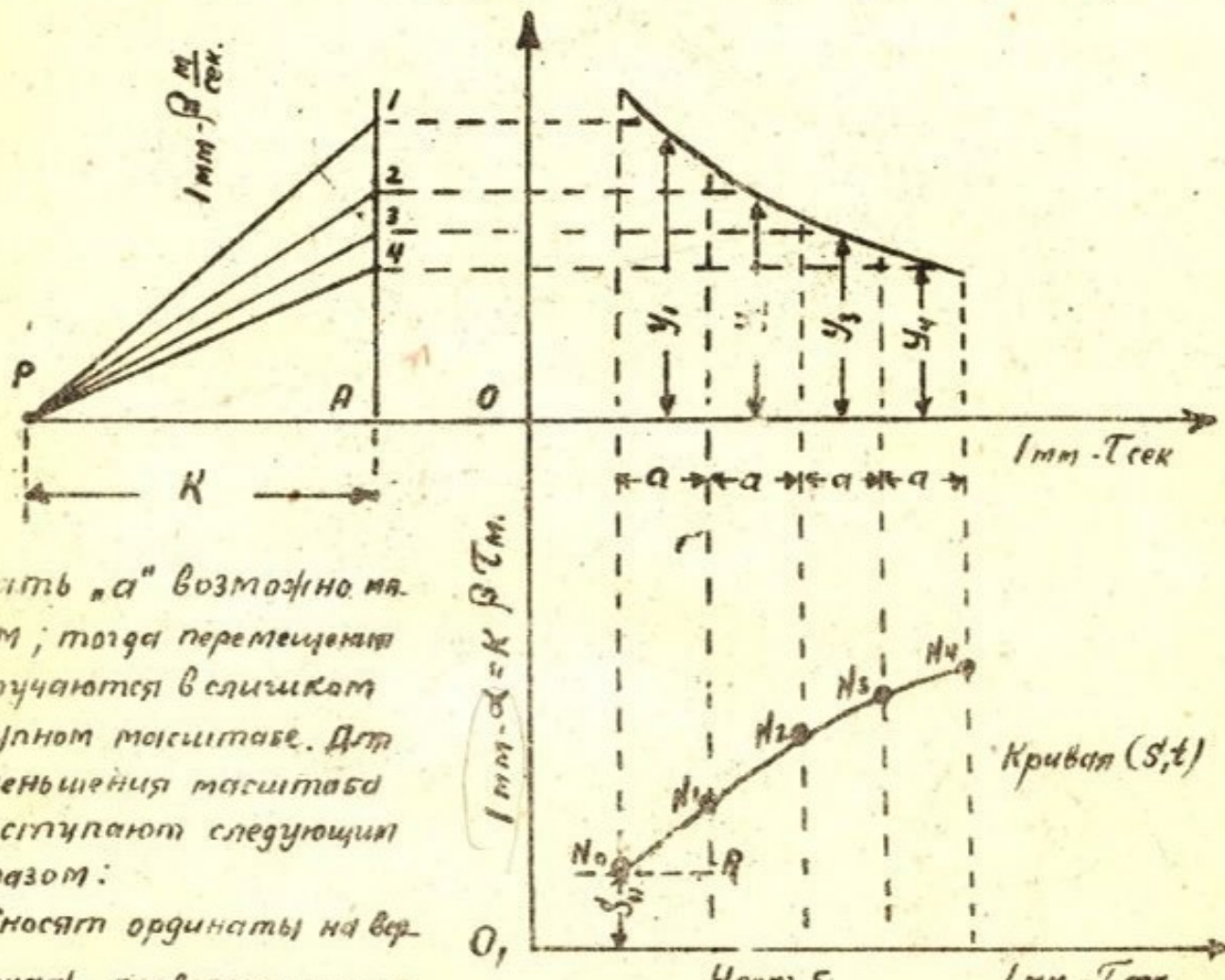
Интеграл $\int_{x_1}^{x_2} y dx$ представляет собою площадь диаграммы (V,t), ограниченную осью абсцисс, частью кривой и двумя ординатами, которые соответствуют абсциссам x_1 и x_2 . Обозначив эту площадь через f_{12} см², получим $S_{kn} = \sqrt{d} f_{12}$ метр. (1)

Эта зависимость будет справедлива, очевидно, для любого интеграла между двумя точками кривой (V,t). На основании этого, построение кривой (S,t) производится следующим образом (черт. 5).

Делим диаграмму (V,t) равноотстоящими вертикальными линиями на несколько равных частей. Пусть расстояние между ними равно „ a “ мм. Проводим на каждом участке ординату так, чтобы произведение этой ординаты на a давало площадь этого участка (если a мало, то очертание участка можно

с достаточной степенью точности считать эти трапеции и необходимая ордината будет средней линией трапеции.) Откуда на основании вышеизложенного, заключаем, что $U_i \alpha \beta t$ будет перемещение за время соответствующее этому участку диаграммы. Так как произведение $\alpha \beta t$ есть величина постоянная, то ее можно принять за масштаб; тогда соответствующее перемещение выражается отрезком $U_i m$ (U_i - выписано в мм.)

Для более точного построения кривой перемещений, необходимо



брать "а" возможно наименее; тогда перемещения получаются слишком крутым масштабе. Для уменьшения масштаба поступают следующим образом:

Сносят ординаты на вертикаль, проведенную через

точку А, взятую на продолжении оси абсцисс. От точки А откладывают отрезок "К" влево, тем больше, чем в меньшем масштабе строится кривая перемещений (отрезок АР = К мм). Точку Р соединяют с точками 1, 2, 3 и т.д. (точки пересечения горизонталей, проведенных через концы ординат, с вертикалью, проведенной через точку А). Отрезки Р₁, Р₂, Р₃, и т.д. и дадут направления для соответствующих участков кривой (ломанной) перемещений.

Построение последней производят следующим образом: На продолжении оси У берут точку О₁, через нее проводят ось

Х-ов (ось времен для кривой S, t). На ординате, соответствующей начальному времени откладываем отрезок, выражющий в масштабе (величина масштаба см. ниже), заданный начальный путь. Получаем точку N_0 . Через точку N_0 проводим линию $N_0 N_1 \parallel P_1$; через точку N_1 — линию $N_1 N_2 \parallel P_2$; через точку N_2 — линию $N_2 N_3 \parallel P_3$ и т.д. Таким образом и получим интегральную кривую (ломаную) $N_0 N_1 N_2 N_3$. Ординаты этой кривой будут выражать перемещения в масштабе

$$\alpha = K \beta T \text{ метр } \text{мм}^{-1}$$

Действительно: из подобия $\triangle ATR \sim \triangle RN_0N_1$ имеем $\frac{N_1 R}{AT} = \frac{N_0 R}{AP}$ или $\frac{N_1 R}{y_1} = \frac{\alpha}{K}$ откуда $y_1 = \overline{N_1 R} \cdot \frac{K}{\alpha}$. Но $S_{12} = y_1 \alpha \beta T$ (на основании уравн. 1-го)

Следовательно:

$$S_{12} = \overline{N_1 R} \cdot \frac{K}{\alpha} \cdot \alpha \beta T = \overline{N_1 R} \cdot K \beta T,$$

т.е. отрезок $N_1 R$ в масштабе $K \beta T$ и будет выражать перемещение, соответствующее первому участку кривой (v, t) .

4. По данным диаграммам (S, t) и (v, t) построить диаграмму (v, S). (Исключение общего переменного t).

Данные диаграммы вычерчиваются одна под другой (черт. 6)

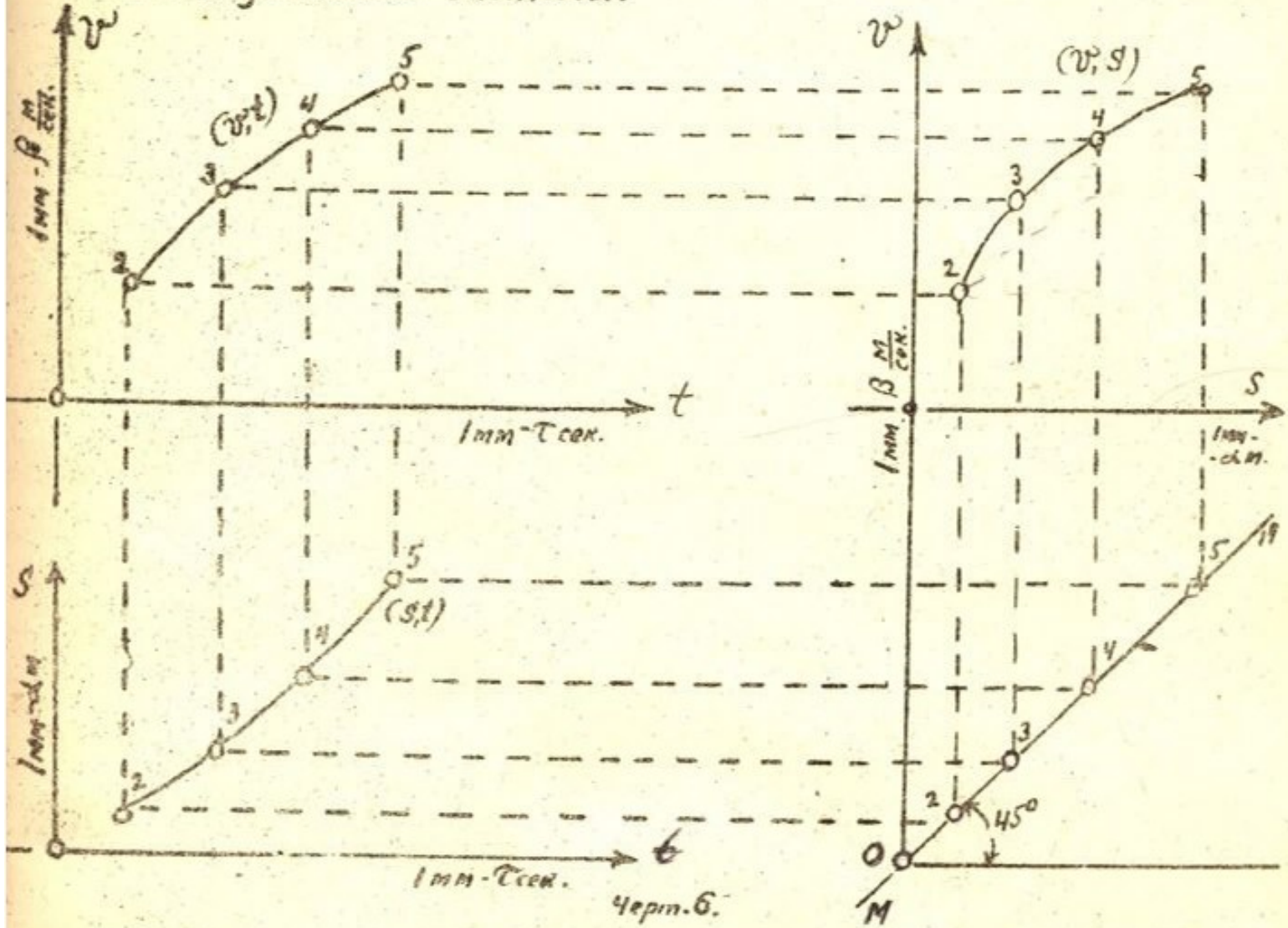
Диаграмма (v, S) располагается на продолжении оси v диаграммы (v, t), масштабы α и β остаются без изменения.

Продолжив ось v диаграммы (v, S) до пересечения с осью t диаграммы (S, t) в точке O , проводим через эту точку прямую линию MM под углом 45° к горизонтали (к оси t). Через все точки диаграммы (S, t) проводятся горизонтали и ведутся до пересечения с прямой MM ; точки пересечения соответственно нумеруются.

Пересечение вертикалей, проходящих через точки прямой MM , с горизонтальами, проходящими через точки диаграммы (v, t), определяет положение точек диаграммы

— 10 —

(W, S); полученные точки соединяются плавной кривой. Совершенно аналогично можно построить диаграммы (W, S) по (W, t) и (S, t), или (W, V) по (W, t) и (V, t). Построенные диаграммы дают возможность получить полное представление о движении системы.



К разделу III программ.

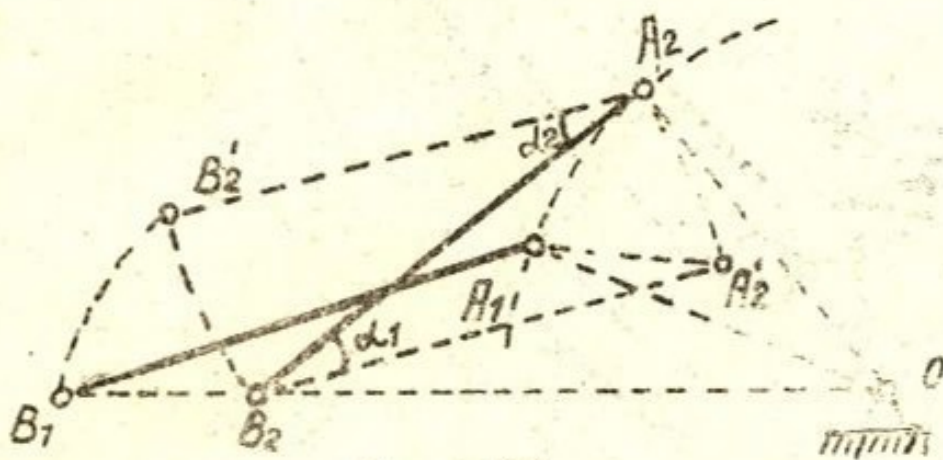
§ 24. Определение угловых скоростей звеньев механизма.

Плоское движение можно рассматривать как составное из поступательного вместе с полюсом и вращательного относительно полюса.

Характер поступательного движения зависит от выбора полюса; Составительное движение от этого выбора не зависит.

Шатун (черт. 82) из положения $A_1 B_1$ переместится в положение $A_2 B_2$. Перемещение это можно предста-

Cumbers



Черн. 82

Возьмем за полюс точку B_1 , и шагнув из положения $A_1 B_1$, переместим поступательным движением в положение $B_2 A_2'$, потом вращением его около точки B_2 на угол α , поставим его в положение $A_2 B_2$. В данном случае поступательное движение было прямолинейное.

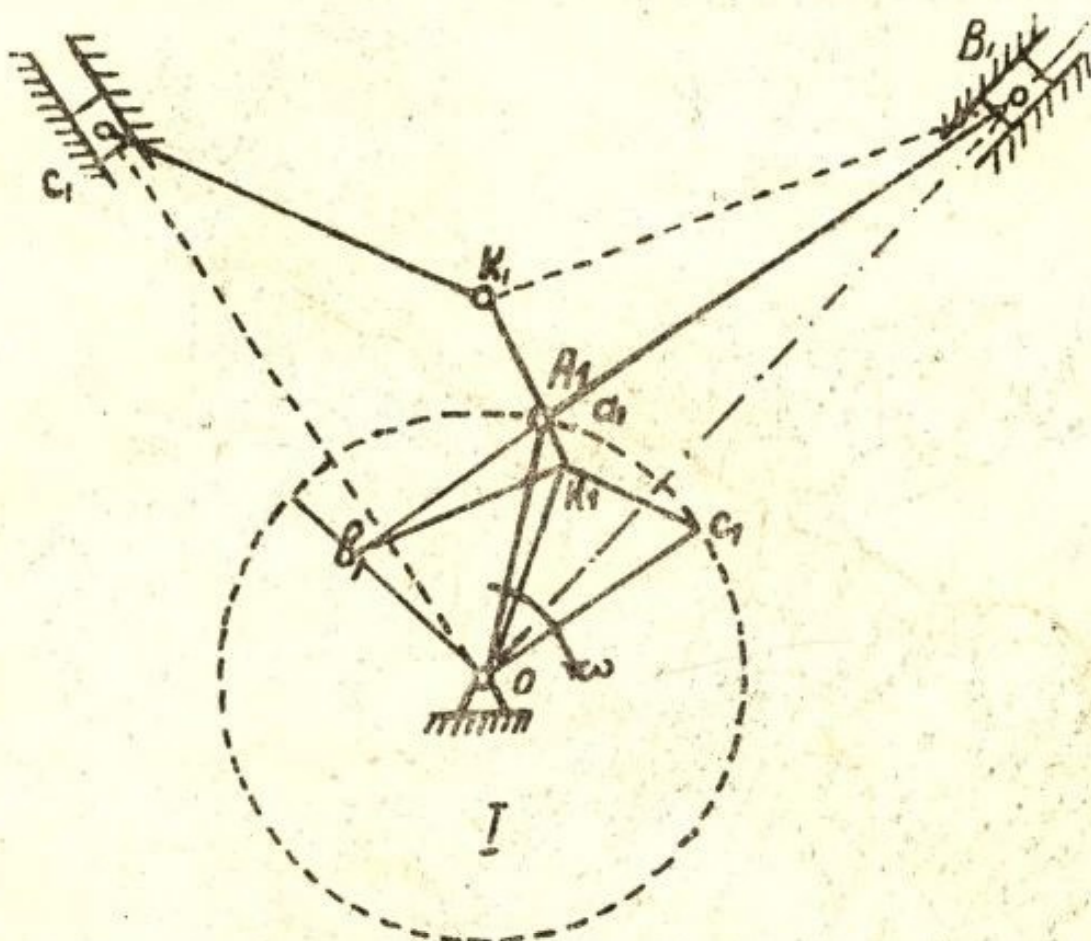
Модифицировать за полюс точки B_1 , полюс поступательным движением системы перемещением из положения A_1B_1 в положение A_2B_2' , а затем вращением около A_2 на угол $\alpha_2 - \theta$ положение A_2B_2 . Поступательное движение в этом случае - кризисное.

Легко видеть из чертежа, что $\alpha_1 = \alpha_2$ и что направления вращений в обоих случаях одинаковы (против часовой стрелки).

Выход: Для определения угловой скорости звена, совершающего плоское движение, необходимо линейную относительную скорость какой-либо точки разделить на расстояние \overline{AO} от

Угловая скорость главного гиантуса Галофе-
нии \tilde{T} . (Черт. 80)

$$w = \frac{a_1 b_1 \alpha}{A_1 B_1 \alpha} w = \frac{a_1 b_1}{A_1 B_1} w \dots \quad (31)$$



Черт. 80

Для приведенного:

$$\omega_2 = \frac{K_1 C_{1d} \omega}{K_1 C_{1d}} = \frac{K_1 C_1}{K_1 C} \omega \dots \dots \dots (32)$$

Если построить планы скоростей для положений кривошипа через каждые 30° (лучше всего через меньшие промежутки) и для каждого положения определить угловую скорость шатуна по форм. (31), то можно затем построить диаграмму угловой скорости шатуна по времени - диаграмму (ω_1, t), отложив полученные результаты на перпендикулярах к осям, соответствующим времени поворота кривошипа на $30^\circ, 60^\circ$ и т. д.

Для упрощения построения диаграммы можно на указанных перпендикулярах откладывать отрезки $\bar{A}_1 \bar{B}_1, \bar{A}_2 \bar{B}_2$ и т. д., выраждающие линейную скорость точки B относительно точки A . Совершенно очевидно, что в таком случае масштаб угловой скорости на диаграмме будет:

$$IMM = \frac{\omega}{AB} = \frac{\text{Perigee}}{\text{cen.}}, \quad \text{13}^{\text{th}} \text{ ge } AB = 6 \text{ mm.}$$

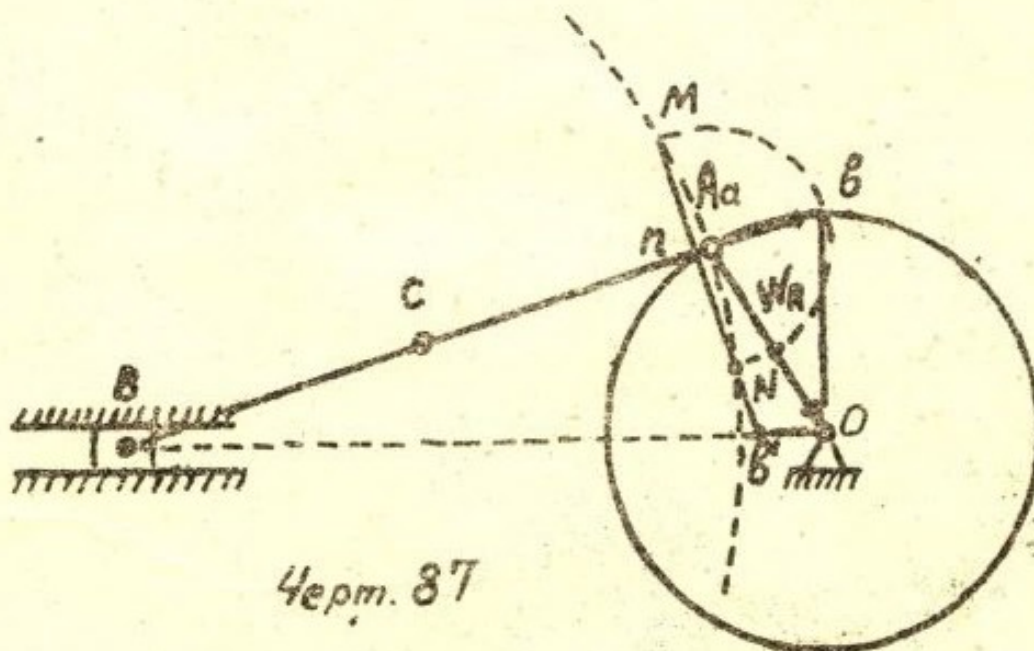
§ 26. Построение повернутых планов ускорений.

Графическое определение нормального относительного ускорения.

Построение планов ускорений можно значительно упростить, если:

- а) выбрать соответствующий масштаб ускорений;
 б) за полюс взять точку, изображающую ось вращения
 ведущего звена;
 в) условиться, что ускорения будут направлены от
изображений к полюсу.

Для построения плана ускорений нормального криволинейно-цилиндрического механизма (черт. 87) выберем масштаб ускорений $\bar{y} = \alpha \omega^2$, тогда, на основании уравнения (36)^{*)}, ускорение токи \bar{A} будет выражаться вектором $= \bar{AO}$. Если же взять за полюс токи A ,



то вектор ускорения \ddot{Y}_A совместится с кривошипом АО, причем ускорение будет направлено к полюсу.

Нормальное относительное ускорение пойдет вдоль штанги АВ. Величину его определяем по формуле (38)^{*)}, а длина вектора

* Упр-ние (36): $w - \tau w^2 = \bar{OA} \cdot \omega$.

$$\text{xx) Ур-нүе (38)} \quad . \quad W_{B(R)}^n = \frac{v_{B(R)}^2}{AB\alpha} = \frac{\bar{a}\bar{b}^2\alpha^2\omega^2}{AB\alpha} = \frac{\bar{a}\bar{b}^2\alpha\omega^2}{AB}.$$

Выразившую его в принятом масштабе $\bar{y} = \alpha \omega^2$, будем.

$$\bar{P}_A = \frac{\bar{W}_{B(A)}^n}{\bar{\omega}} = \frac{\bar{AB}^2 \alpha \omega^2}{\bar{AB} \alpha \omega^2} = \frac{\bar{AB}^2}{\bar{AB}} \quad \dots \quad (46)$$

Формула (46) показывает, что в данном случае нормальное относительное ускорение легко определить графически так:

Разделим шатун AB пополам точкой C и радиусом CA из центра C опишем дугу. Из центра A (он же „ α ”-изображение точки A на плане скоростей) сделаем засечки этой дуги радиусом „ AB ”.

Хорда, соединяющая засеченные точки, пересекается с шатуном B точке P .

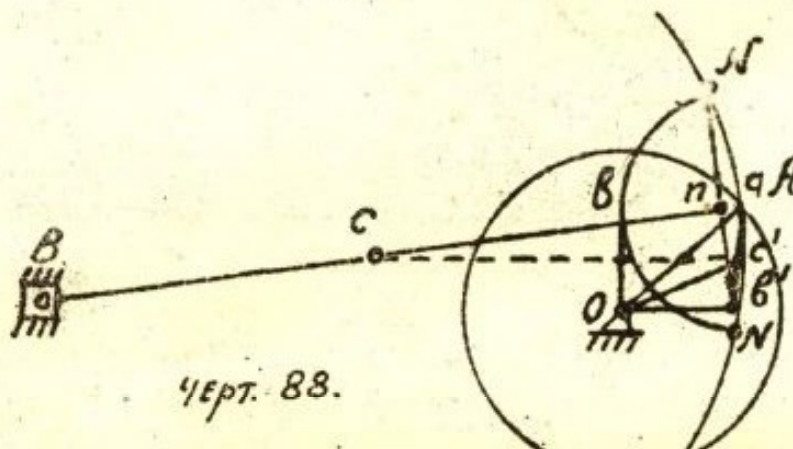
Очевидно, длина отрезка PA будет удовлетворять уравнению (46). Продлим проведенную хорду до пересечения (если она раньше не пересекла) с линией BO в точке B' .

Четырехугольник $B' O A P$ и будет повернутый план ускорений. Его называют повернутым потому, что на нем вектора ускорений направлены от изображений к полигону.

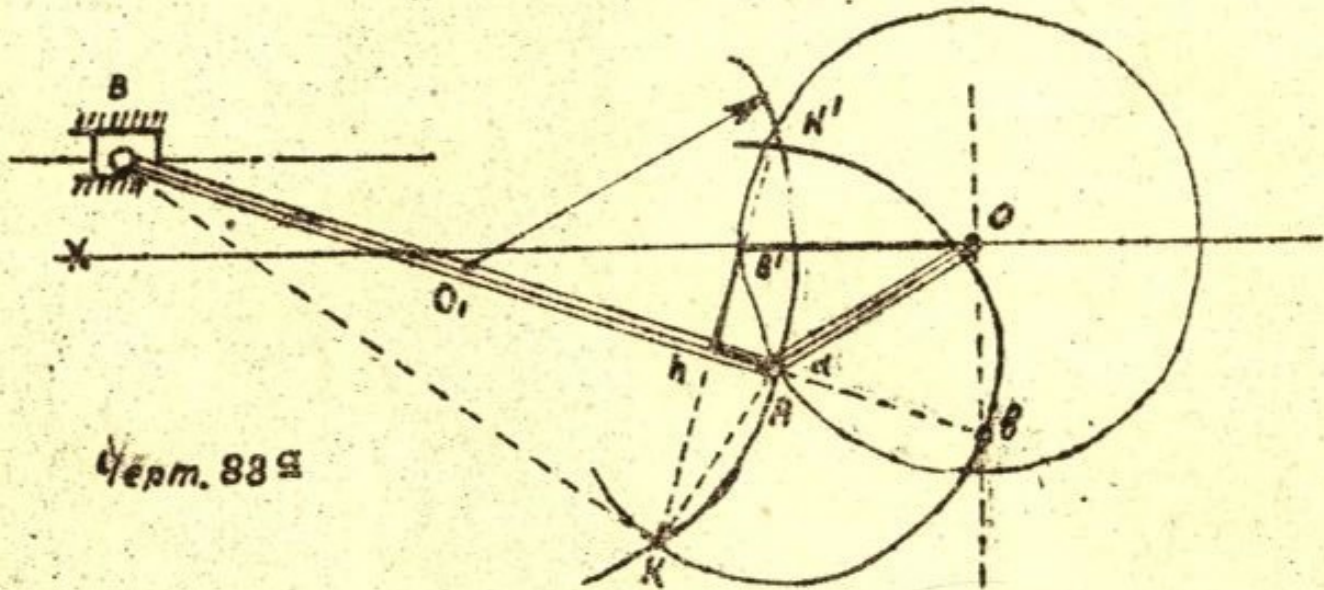
Подчеркиваем, что на повернутом плане ускорений, ускорения имеют действительные направления в то время, как на повернутом плане скоростей скорости повернуты на 90° .

На повернутом плане ускорений изображение точки A , ведущего кривошипа OA , совпадает с самой точкой.

Таким же способом на черт. 88 построен повернутый план ускорений для другого положения кривошипа нормального кривошлино-шатунного механизма (переплетенный четырехугольник $B' O A P$), а на чертеже 88¹ доказательного



ЧЕРТ. 88.



Черт. 83 а

Линия, соединяющая точки A и B' , представляет изображение шатуна AB на повернутом плане ускорений. Она же выражает полное ускорение точки B относительно A в принципе масштабе).

Пользуясь повернутым планом ускорений, легко найти ускорение какой-либо точки C системы шатуна AB . Например, для определения ускорения точки C (черт. 88) необходимо провести через точку C линию, параллельную BO , до пересечения с Ab' . Точка пересечения и будет изображением C этого точки на плане ускорений.

Ускорение точки C будет выражаться вектором, соединяющим изображение с полюсом O .

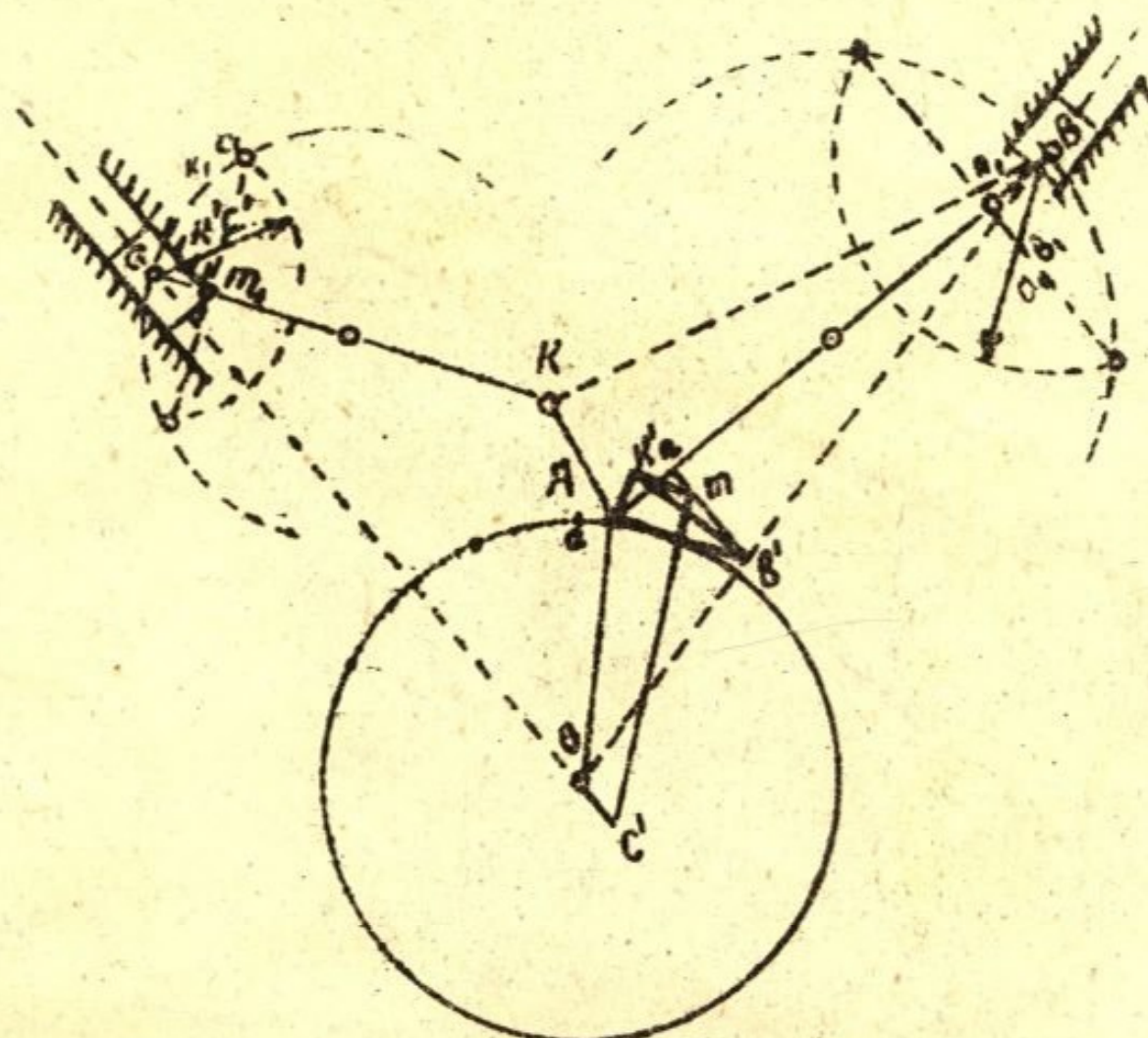
На черт. 88:

$$Cc' \parallel BO$$

$$\bar{w}_c = c' O \cdot \omega^2 \frac{m}{сек}.$$

Если точка лежит не на линии AB , то для определения ее ускорения пользуются теоремой о подобии.

На черт. 89 таким способом построен повернутый план ускорений кривошипно-шатунного механизма



Черт. 89

С прицепным шатуном для положения, обозначенного на черт. 80¹ (механизм на обоих чертежах в одном масштабе)

Для ясности чертежа вектора нормальных относительных ускорений найдены построением около дротика концов шатунов, а потом перенесены в соответствующие места: $a'p \# 8p$, $k't \# 8t$. Изображение точки $\bar{x} - x'$ найдено построением $\Delta a'b'k' - \Delta 88k'$.

$p' \perp a'p$; $t' \perp k't$ (тогда T случайно попадет на $p'b'$)

Относительные скорости точек Vic (векторы $a, b, .. k, c$) взяты из черт. 80¹

Приведенный способ графического определения относительного нормального ускорения может быть осуществлен лишь тогда, когда вектор относительной скорости меньше чем отрезок, изображающий длину соответствующего звена ($a'b < AB$)

В кривошильно-шатунных механизмах это условие всегда выполняется.

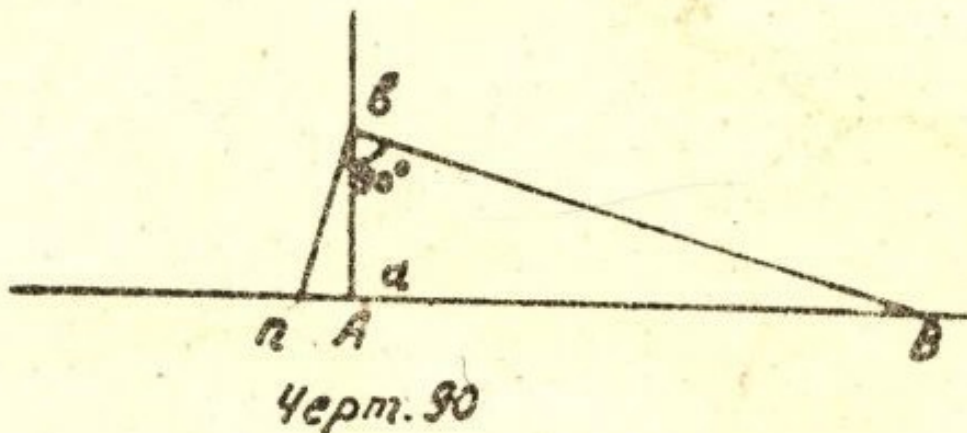
17

Дадим общий способ определения длины вектора относительного нормального ускорения.

Допустим, что отрезок AB совершает плоское движение и что для него построен план скоростей в масштабе:

$$1 \text{ мм} - \beta \frac{\text{м}}{\text{сек}}.$$

Для определения длины вектора $\bar{W}_{B(A)}^n$ отложим отрезок AB . (В случае большой длины откладываем его в масштабе: 1 мм - α м.) - Черт. 90.



Из какогонибудь конца его восстанавливаем перпендикуляр, на котором откладываем вектор относительной скорости $-\bar{U}_{B(A)}$, т.е. $a\bar{b}$. Полученную точку \bar{b}' соединяем с другим концом отрезка (точкой B) и к прямой BB' , из точки \bar{b}' , восстанавливаем перпендикуляр до пересечения с продолжением отрезка (точка n).

Отрезок An и будет равен длине вектора $\bar{W}_{B(A)}^n$.

Масштаб ускорения: 1 мм - $\beta^2 \frac{\text{м}}{\text{сек}^2}$, если отрезок AB ложен в натуральную величину, или:

$$1 \text{ мм} - \frac{\beta^2}{\alpha} \frac{\text{м}}{\text{сек}^2}, \text{ если отрезок}$$

AB отложен в масштабе: 1 мм - α м.

Действительно: $An = \frac{\bar{a}\bar{b}^2}{AB}$

или (если AB отложен в истин. вели.):

$$An \cdot \beta^2 = \frac{\bar{a}\bar{b}^2 \beta^2}{AB} = \frac{\bar{U}_{B(A)}^2}{AB} = \bar{W}_{B(A)}^n$$

Подчеркиваем, что приведенный способ графического опре-

деления длины вектора нормального ускорения верен лишь при определенном соотношении между масштабом длин, скоростей и ускорений, а именно;

$$\beta = \frac{\rho_2}{\alpha} \dots \dots \dots (47)$$

В приведенных примерах:

$$\beta = \alpha \omega$$

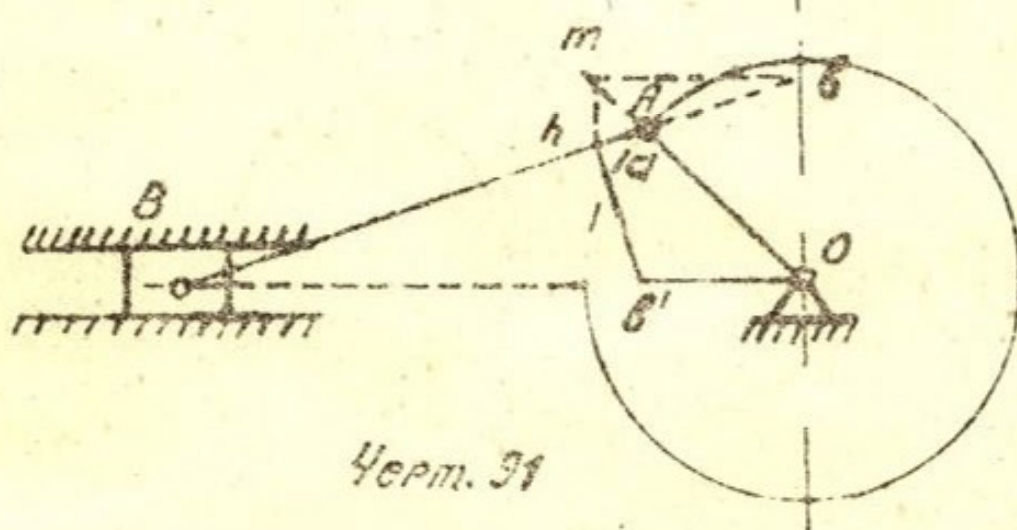
$$\beta^2 = \alpha \omega^2$$

поэтому формула (47) превращается в тождество:

$$\alpha \omega^2 = \frac{\rho^2 \omega^2}{\alpha} = \alpha \omega^2$$

§ 27. Способ Мора.

Построение повернутого плана ускорений кривошипно-шатунного механизма можно сделать проще, применив способ Мора (Черт. 37).



Черт. 37

Строим повернутый план скоростей αOB ; через точку „ B' проводим вл BOB до пересечения с кривошипом, или его продолжением, в точке m ; через точку m проводим тл BOB до пересечения с лвл в точке P ; из точки P восстанавливаем перпендикуляр к шатуну AB до пересечения с OB в точке B' . Фигура $B'OaP$ и будет повернутый план ускорений, построенный в масштабе $\mu = \alpha \omega^2$.

Действительно:

$\Delta TAB \sim \Delta BAO$, откуда:

$$\frac{AB}{AO} = \frac{TA}{BO} \dots \dots \dots (48)$$

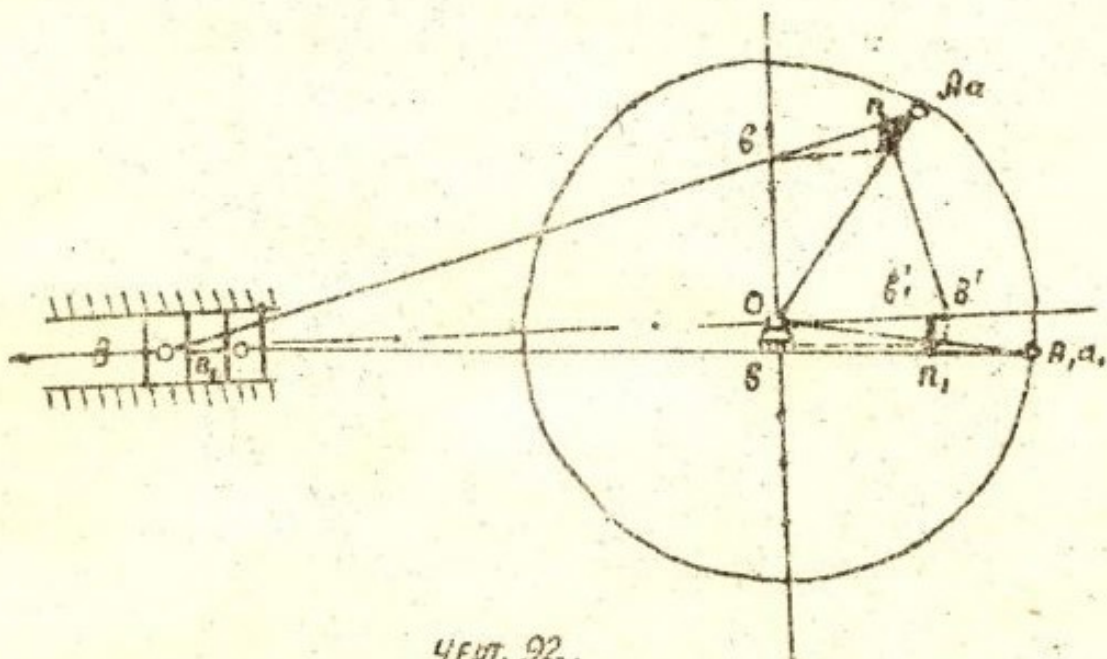
С другой стороны: $\Delta tpa \sim \Delta vAO$, откуда:

$$\frac{tpa}{AO} = \frac{ap}{ab} \dots \dots \dots (49)$$

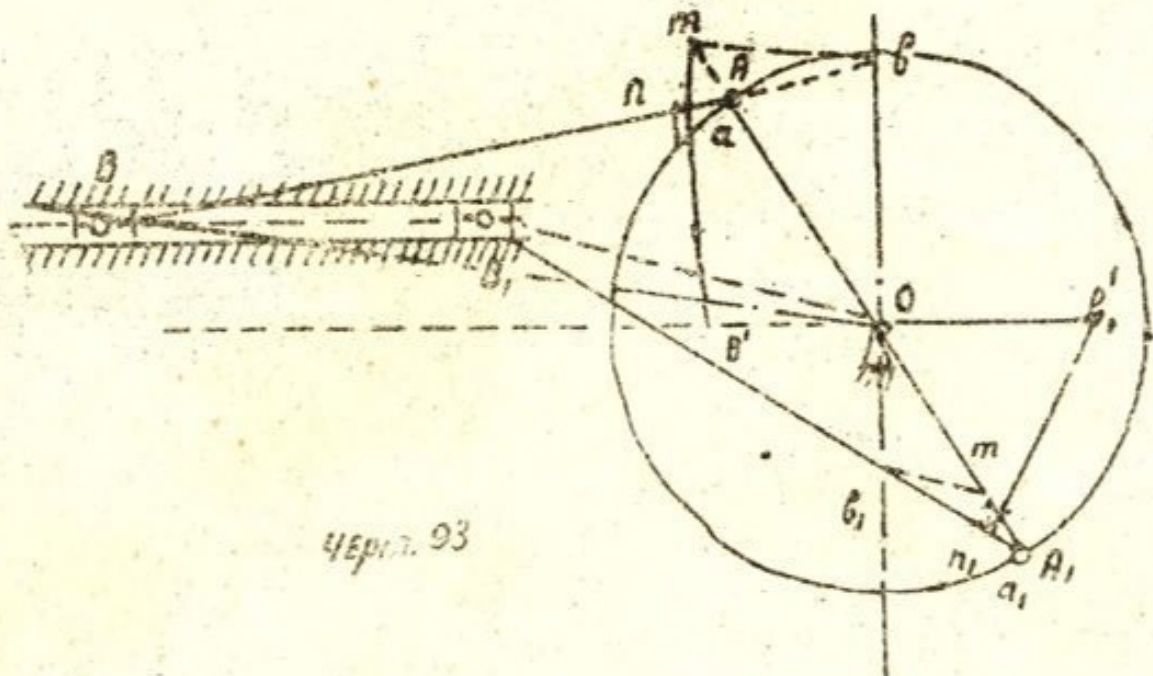
Из уравнений (48) и (49) находим:

$$\frac{ab}{AB} = \frac{ap}{ab}, \text{ или } ap = \frac{ab^2}{AB}$$

Таким образом aO и pa в принятом масштабе
составляют, соответственно, ускорения W_A и $W_B^{(a)}$;
 $b'p$ и $b'o$ направления ускорений $W_{B(a)}^t$ и W_B .
Следоват., четырехсторонник $b'bab$ и есть план ускорений.
На черт. 92 построены способом Мора планы ускорений еще для
двух положений нормального кривошипно-шатунного
механизма (переплетенные четырехсторонники $b'bab$ и $b'oao$,



На чертеже 93 построены таким же способом пло-
ны скоростей и ускорений для двух положений дезаки-
сального кривошипно - шатунного механизма.



ЧЕРТ. 93

Построение аналогичное, только необходимо помнить, что $\omega = \dot{\theta}$.

Зададим, что способ Мора не применим для первых положений кривошипа шатунного механизма.

§ 28. Определение угловых ускорений звеньев механизма.

На основании соображений, приведенных в § 26, угловое ускорение звена можно определить, разделив относительное тангенциальное ускорение на расстояние точки до полюса (центр относительного вращения), по формуле:

$$\dot{\omega}_t = \frac{v_{\text{тан}}}{AB} \dots \dots \dots (50)$$

Так, угловое ускорение главного шатуна, для положения механизма, указанного на черт. 89, будет:

$$\dot{\omega} = \frac{\dot{v}_{\text{тан}}}{AB} = \frac{B'\bar{n} \cdot \alpha \omega^2}{AB \cdot d} = \frac{B'\bar{n}}{AB} \cdot \omega^2 \dots \dots \dots (51)$$

Угловое ускорение приводного шатуна для этого же положения:

$$\dot{\omega}_1 = \frac{\dot{v}_{\text{тан}}}{CK \cdot d} = \frac{C'\bar{n} \cdot \alpha \omega^2}{CK \cdot d} = \frac{C'm}{CK} \omega^2 \dots \dots \dots (52)$$

Если построить планы ускорений для разных положений кривошипа через определенные промежутки и для каждого положения найти угловое ускорение шатуна по формуле (51), то мы сможем построить диаграмму угловых ускорений

(E, t) , откладывая полученные результаты на перпендикулярах к абсциссам, соответствующим времени поворота кривошипа на данный угол.

Для упрощения построения дисаграммы можно на означенных перпендикулярах откладывать отрезки $b'_1 p_1; b'_2 p_2; b'_3 p_3$ и т.д., которые в соответствующих положениях выражают относительное тангенциальное ускорение.

Понятно, что в таком случае масштаб дисаграммы ускорения будет:

$$1 \text{ мм} = \frac{\omega^2}{AB} \cdot \frac{1}{\text{сек.}^2} \quad (\text{A.B.} = 6 \text{ мм}).$$

§ 29. Определение радиусов кривизны траектории точек механизма.

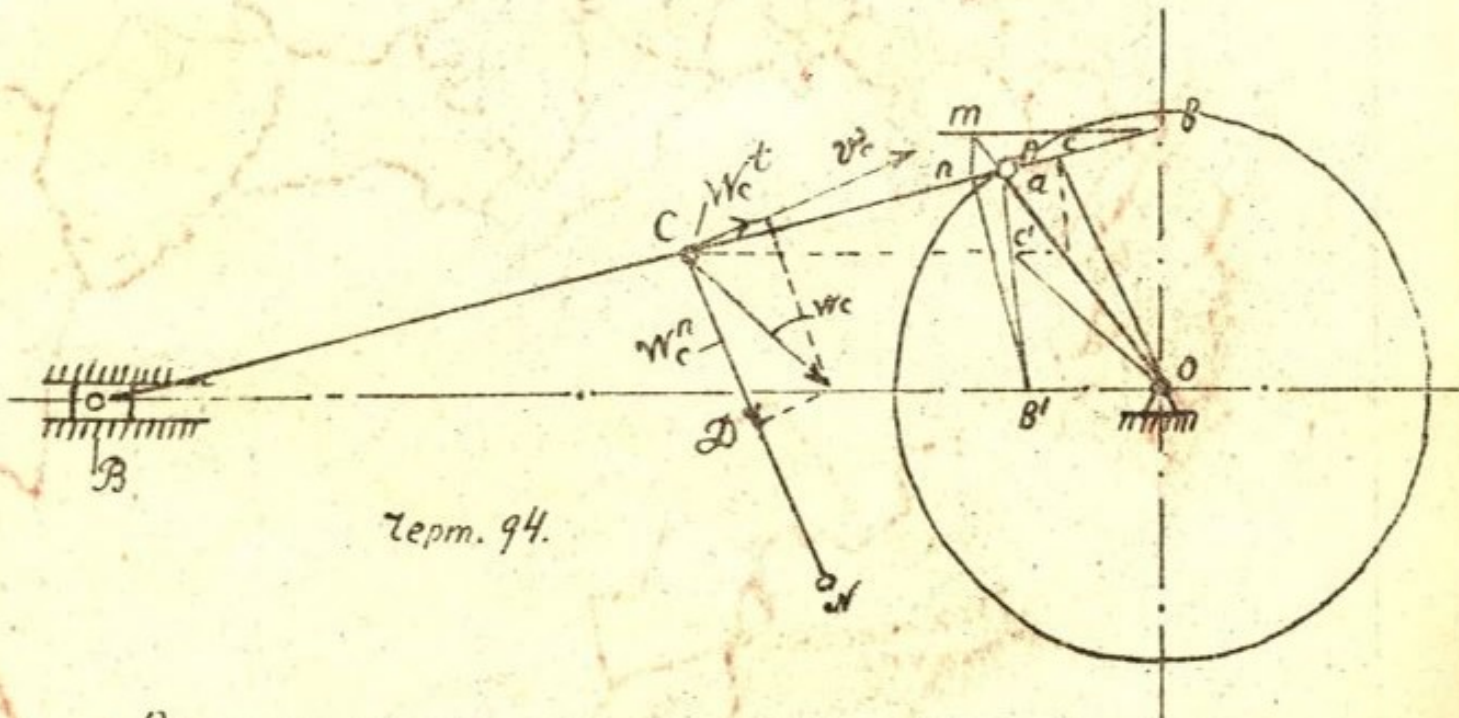
О характере траектории точки можно судить, зная радиусы кривизны ее в разных точках.

Радиус кривизны определяется по уравнению:

$$W^n = \frac{\omega^2}{\rho}, \quad \dots \dots \dots \quad (53)$$

где W^n — абсолютные нормальные ускорение точки.

Определение радиуса кривизны показано на черт. 94.



Черт. 94.

Помощью планов скоростей и ускорений определяются скорость и ускорение точки, траектория которой исследуется.

(на черт. точка С шатуна АВ).

Скорость точки С выражается вектором v_c по величине равной Oc , по направленным перпендикулярно к ос. Ускорение

точки С выражается вектором \vec{W}_c , геометрически равным с σ .
Известно, что скорость точки направлена по касательной к ее траектории.

Следовательно радиус кривизны направлен по $C\bar{\omega} \perp \vec{W}_c$

Разложив вектор \vec{W}_c по двум направлениям (направления \vec{V}_c и $\vec{C}\bar{\omega}$), получим величину нормального ускорения, умноженное отрезку $C\bar{\omega}$ на масштаб:

$$\vec{W}_c^n = C\bar{\omega} \cdot \alpha \omega \frac{m}{сек^2}, \quad (C\bar{\omega} - в \text{ миллиметрах})$$

а радиус кривизны траектории точки С в данном месте:

$$\rho = \frac{V_c^2}{W_c^n} = \frac{Oe^2 \cdot d^2 \omega^2}{C\bar{\omega} \cdot \alpha \omega^2} = \frac{Oe^2}{C\bar{\omega}} d. \dots \dots \dots (54).$$

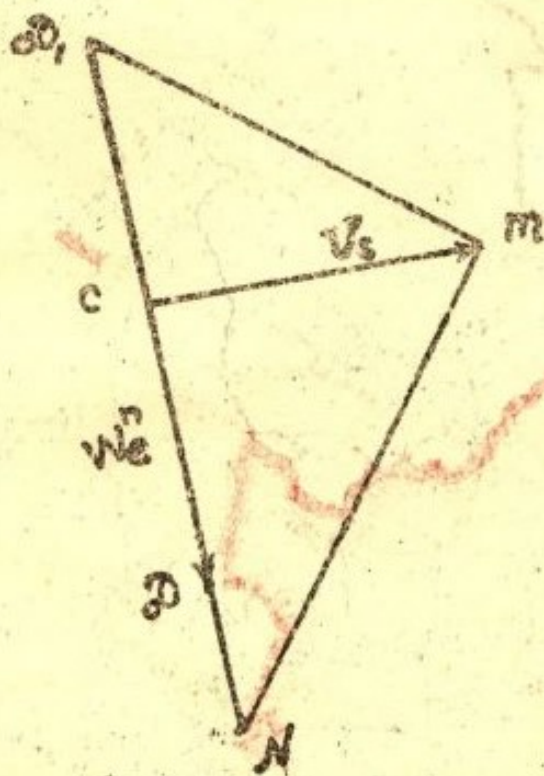
На основании ур-ия (54) можно легко определить геометрическим построением центр и радиус кривизны траектории точки С для заданного положения.

Для этого необходимо (черт. 94д) на продолжении NC отложить отрезок $C\bar{\omega}$, = $C\bar{\omega}$, точку $\bar{\omega}$, соединить с концом вектора

\vec{V}_c (точка M , прием $CM = Oe$)

Если из точки M восстановить перпендикуляр к $M\bar{\omega}$, то он пересечет нормаль к траектории точки С — $C\bar{\omega}$ в точке N , которая и будет центром кривизны, а отрезок $\bar{\omega}N$ в масштабе улик будет выражать радиус кривизны.

Построение простое и выполнение не требует.



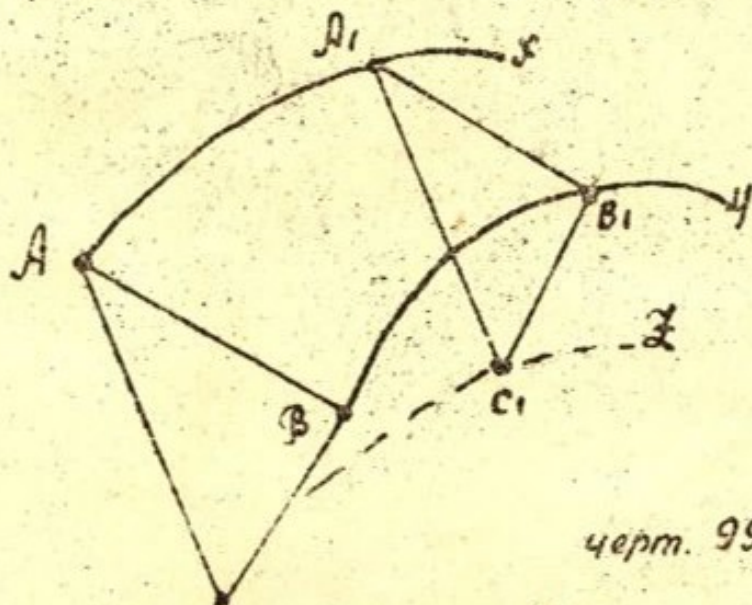
Черт. 94 д

§ 30^а Построение планов скоростей и ускорений
для механизмов с трехпроводковыми группами
[МЕТОД ЛОЖНЫХ ПОЛОЖЕНИЙ]

В § 23 было показано (черт. 81^б) построение плана скоростей для механизма Стефенсона (механизм с трехпроводковой группой) помощью мгновенных центров вращения. Определение МЦВ требует дополнительных построений и часто сопровождается большими неудобствами (центры получаются вне пределов чертежа). Метод ложных положений в этом случае является более удобным. Кроме этого, этим методом, сравнительно легко, строятся также планы ускорений для означенной группы механизмов.

Прежде чем приступить к изложению этого метода, остановимся на исходных положениях.

а) Допустим, что плоский \triangle -угольник перемещается так, что его \triangle -вершины совершают вполне определенное движение, а стороны, изменяя свою величину, остаются параллельными самим себе. Докажем, что и последняя (\triangle -вершины) будет перемещаться по определенному направлению. Пусть фигура ABC (черт. 99¹) перемещается так, что точки A и B описывают траектории A_x и B_y . Для каждого положения точки A на ее траектории легко найти положение точек B и C , при чем эти положения будут вполне определенные.



черт. 99¹

Например, когда точка A займет положение A_1 , точки B и C будут в положениях B_1 и C_1 , которые найдутся проведением

$A_1P_1 \parallel A_1C_1 \parallel A_1B_1$ до взаимного пересечения.

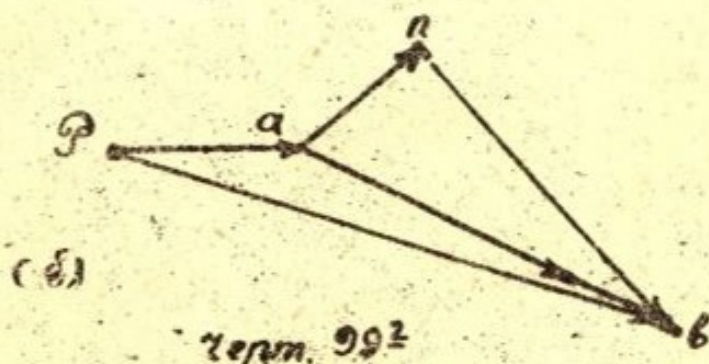
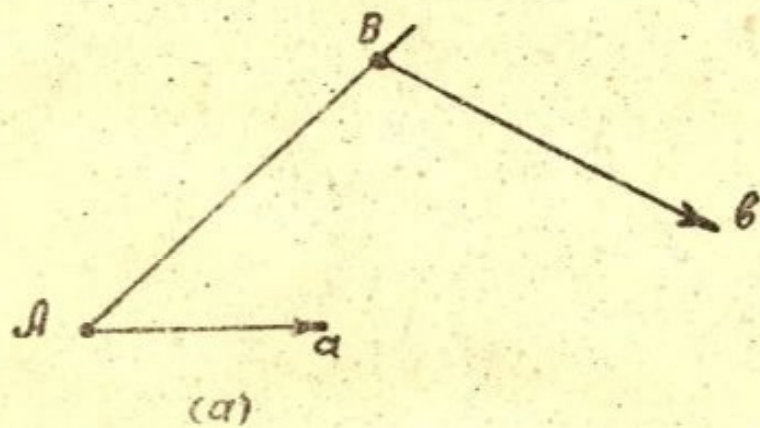
Таким образом параллограмм точки C будет вполне определенная кривая C_2 .

В частном случае, когда A_1x и B_1y , прямые, то и C_2 будет прямая, что легко доказывается на основании элементарной геометрии.

б) Скорости точек подобно изменяющей фигуры, совершающей плоское движение.

Пусть отрезок AB , совершающая плоское движение, изменяется также по длине (черт. 99²)

Допустим также, что скорости конечных его точек в данный момент выражаются векторами Aa и Bb



Черт. 99²

Построим план скоростей у произвольно выбранного полюса P . Отрезок ab будет выражать, очевидно, скорость точки B относительно A .

Разложим вектор относительной скорости по направлению отрезка ab и по перпендикуляру к нему ($a \parallel A_1B_1$ и $pb \perp ab$)

Получим вектор ap , изображающий скорость изменения длины отрезка, и вектор pb , изображающий вращательную

скорость точки B относительно A .

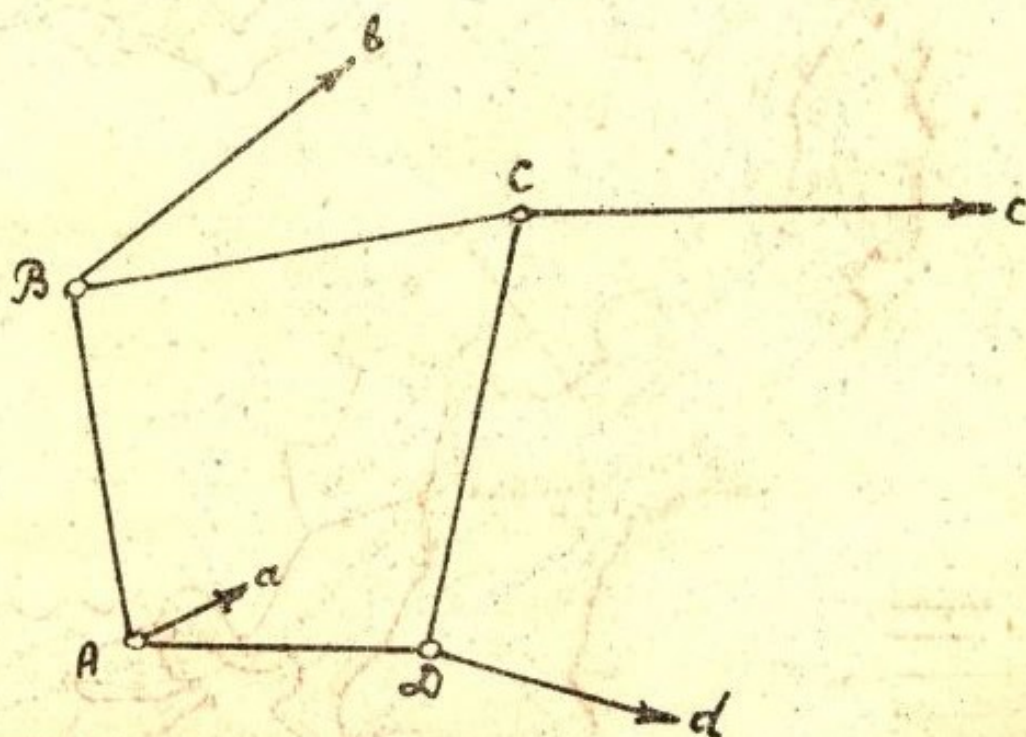
Угловая скорость точки B относительно A равна

$$\omega_{B(A)} = \frac{AB \cdot \varphi}{AB} \text{ сек.}$$

Очевидно, что в случае неизменной длины отрезка, как это мы рассматривали выше, отрезок AB будет перпендикулярный AB . (изображения отрезков на планах скоростей повернуты на 90° относительно самих отрезков) и $\alpha = 0$, т. $AB \equiv ab$.

Пусть стороны фигуры $ABCD$ (черт. 99³) совершающей плоское движение, изменяются так, что она остается себе подобной. Для этого, очевидно, необходимо, чтобы удлинения сторон ея за любой промежуток времени были пропорциональны первоначальной из длины, другими словами, чтобы скорости изменения длин отрезков были пропорциональными самим длинам.

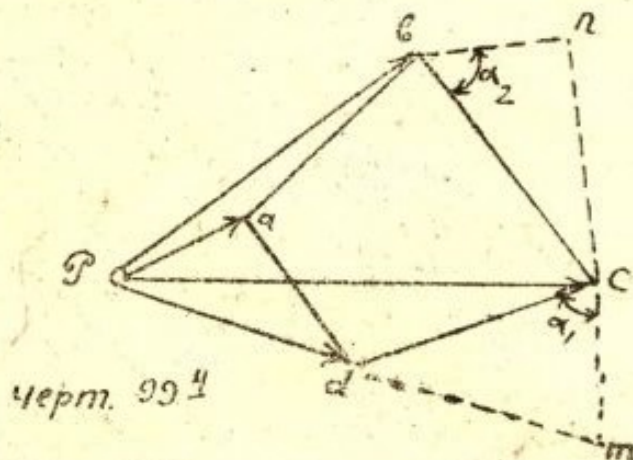
Допустим, что скорости точек A, B, C, D в некоторый момент времени выражаются соответственно векторами: $\vec{Aa}, \vec{Bb}, \vec{Cc}, \vec{Dd}$.



Черт. 99³

Возьмем точку P за полюс и построим план скоростей (черт. 99⁴)

Отрезки \bar{ab} , \bar{bc} , \bar{ca} , \bar{dc} на плане скоростей будут выражать в принятом масштабе ($1\text{мм} - \beta \frac{\text{м}}{\text{сек}}$) относительные скорости.



Разложим вектор \bar{bc} на $\bar{b}\bar{l}$ || BC и $\bar{p}\bar{c} \perp BC$, а вектор \bar{dc} на $\bar{d}\bar{l}$ || CD . Векторы $\bar{b}\bar{l}$ и $\bar{c}\bar{p}$ будут выражать скорости изменения длин сторон BC и CD данной фигуры.

Следоват., на основании вычисказанного:

$$\frac{\bar{b}\bar{l}}{BC} = \frac{cm}{cd} \quad \text{или} \quad \frac{\bar{b}\bar{l}}{cm} = \frac{BC}{cd} \quad \dots \dots \quad (75')$$

Так как в подобных фигурах углы равны, то относительные угловые скорости точки B относительно C и точки D относительно C должны быть равны, т.е.

$$\omega_{B(c)} = \omega_{D(c)} \quad \dots \dots \quad (75^2)$$

$$\left. \begin{aligned} \text{Но } \omega_{B(c)} &= \frac{n_c \cdot \beta}{BC} \\ \omega_{D(c)} &= \frac{m_d \cdot \beta}{cd} \end{aligned} \right\} \quad \dots \dots \quad (75^3)$$

Равенства (75²) и (75³) дают.

$$\frac{n_c}{BC} = \frac{m_d}{cd}, \text{ или } \frac{n_c}{m_d} = \frac{BC}{cd} \quad \dots \dots \quad (75'')$$

Последнее равенство в совокупности с (75') дает:

$$\frac{B\bar{n}}{cm} = \frac{nc}{md} \quad \dots \quad (75^{\circ})$$

Следоват., прямоугольный треугольник BPC подобен прямоугольному ΔCDF

$$\text{Откуда: } \frac{B\bar{c}}{cd} = \frac{B\bar{n}}{cm} = \frac{BC}{CD}$$

и $\angle C\bar{A}_1 = \angle A_2 C$ (^{векторы} скоростей повернуты относительно направления стерожней на один и тот же угол). Аналогично можно доказать пропорциональность:

$$\frac{AB}{ad} = \frac{AB}{ad} \quad !$$

а потому $\frac{AB}{ad} = \frac{B\bar{c}}{cd} = \frac{B\bar{c}}{cd} = \frac{da}{dA}$, что, в совокупности с равенством углов поворота векторов относительных скоростей относительно направления сторон фигуры приводит к выводу:

Фигура, построенная на концах векторов абсолютных скоростей, подобна в каждый момент самой плоской фигуре и повернута относительно ее на один и тот же угол.

Частный случай:

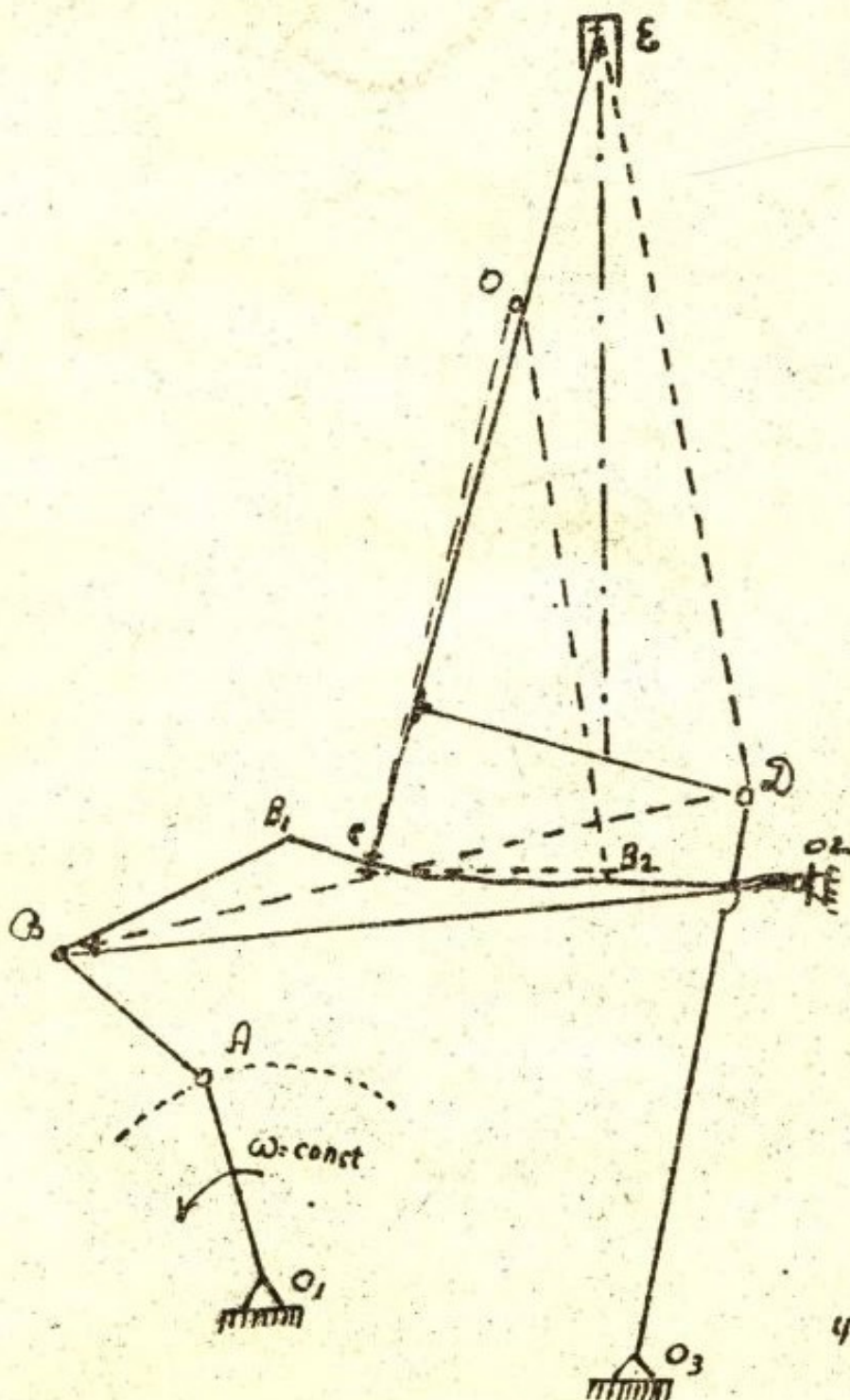
Если две точки подобно изменили фигуру движутся прямолинейно и равномерно, то и все остальные точки также движутся прямолинейно и равномерно.

В самом деле, если точка A и B (черт. 99³) движутся прямолинейно и равномерно, то вектора $A\bar{a}$ и $B\bar{b}$ сохраняют все время постоянную величину и направление. Следоват., ч \bar{ab} (черт. 99⁴) будет постоянно по величине и направлению. Поэтому положение фигуры $ABCD$ будет неизменно. Откуда делаем вывод. $\bar{Pc} = \text{const}$ и $\bar{Pd} = \text{const}$, что и требовалось доказать.

Основываясь на выводах п.п. α и β , построим

планы скоростей и ускорений для двух механизмов, имеющих трехзвенные группы

Пример 1^о Построить планы скоростей и ускорений для топливного насоса ^{авиадизеля} Дорнера. Схема механизма дана на черт. 99^з [При вычерчивании схемы высшие пары заменены низшими. Чертеж насоса см. В.В. Добровольский "Теория механизмов" ч. I стр. 321]



черт. 99^з.

Ведущее звено механизма O_A вращается против часовой

стрелки с постоянной угловой скоростью ω .

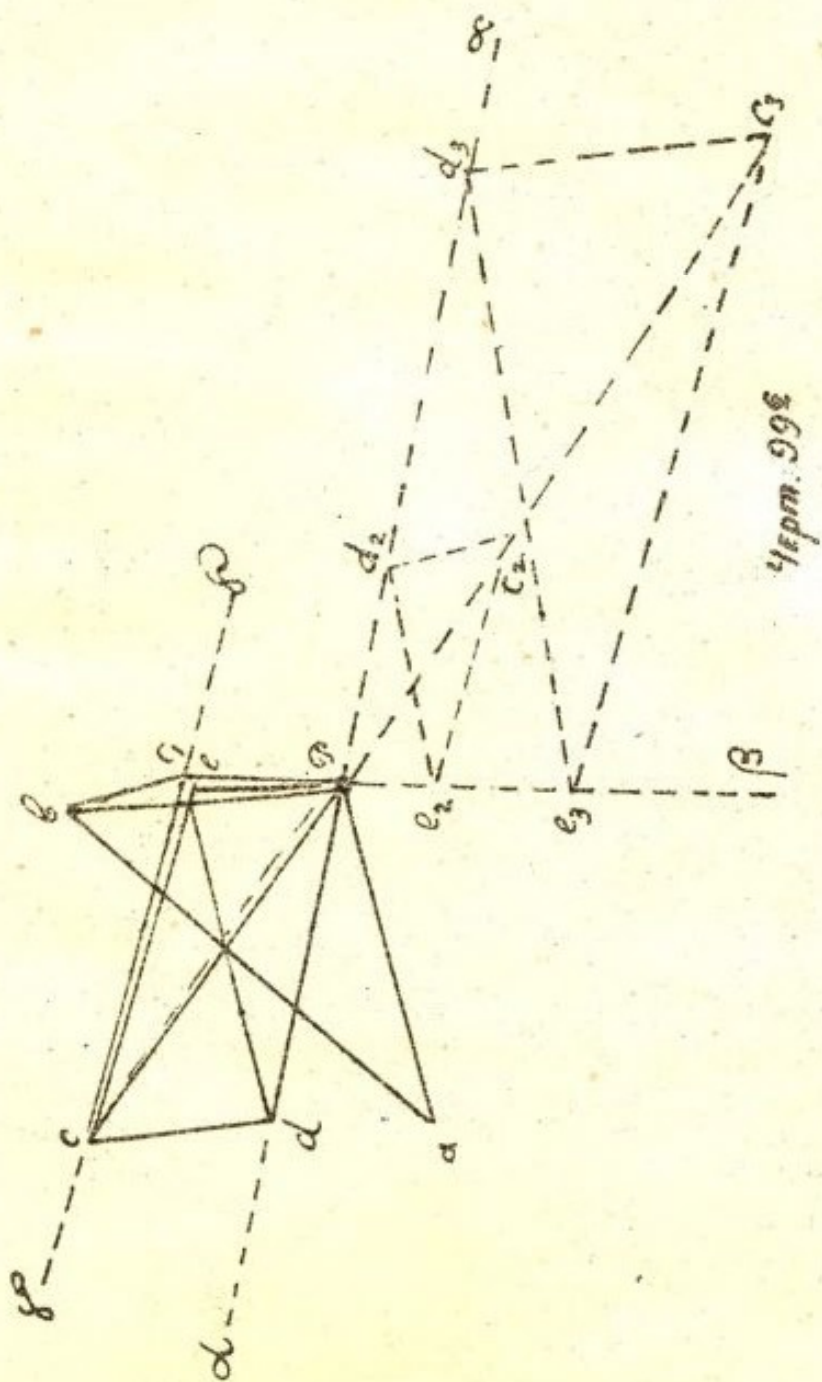
Полагаем, что механизм выбран по схеме в масштабе:
1 мм - 1 м.

Выберем масштаб для построения плана скор. ^{остав.}
1 мм - $\frac{1}{\vartheta}$ сек.

Скорость точки A изобразится на плане вектором
 P_A перпендикулярным $O_1 A$ и по величине равным

$$P_A = \frac{\vartheta_{1A}\omega}{\vartheta} \text{ мм (черт. 99*)}$$

Изображение точки B на плане скоростей находится
обычным порядком, проводя через "А" линию $OB \perp P_A$, а
через полюс P_B линию $P_B \perp O_2 B$. Пересечение этих линий
дает искомое изображение "В".



Скорость точки C , при-
надлежащей рычагу
 $O_2 B$, находится постро-
ением на отрезке P_B
треугольника $P_B C \sim$
 $O_2 B C$ ($\Delta P_B C$, повернут
относительно $\Delta O_2 B C$ на
 90°)

Вектор P_C изображи-
ет скорость точки
 C , если ее рассмотрят
в системе коор-
динат $O_2 B$.

Если же точку C рас-
сматривают в системе
ползуника, то найден-
ный вектор P_C будет
изображать переносную
скорость [ось ползу-
ника перемещается по

дуге B_1B_2 и вместе с ней вращается вокруг точки O_2], относительная скорость будет направлена по касательной к CO , где O - центр дуги B_1B_2 .

Проведем через C линию $dd \perp CO$. На этой линии должен лежать конец вектора абсолютной скорости точки C , расположенного в системе координат.

Так как, ни величины относительной скорости, ни направления абсолютной скорости, мы не знаем, то треугольник скоростей построить обычным способом нельзя. Но мы знаем, что абсолютная скорость точки E направлена по линии движение поршня насоса, т.е. по линии Fr , а абсолютная скорость точки D (головки коромысла O_3D) направлена по $dd \perp O_3D$. Следовательно, изображения точек D, E и C должны лежать, соответственно, на прямых dd, Fr и dd , а треугольник, образованный этими изображениями, должен быть подобен ΔDEC и повернут относительно него на 90° .

Возьмем произвольное положение изображения точки D на прямой dd - точку d_1 и через нее проведем $d_2e_2 \perp DE$. На отрезке d_2e_2 построим $\Delta d_1e_1e_2 \sim \Delta DEC$. Это будет первое ложное изображение искомого треугольника.

Равнотично строим второе ложное изображение - треугольник $d_2e_2c_2$. В нем $d_2e_2 \perp DE$; $e_2c_2 \perp EC$; $d_2c_2 \perp DC$.

На основании п.а) этого параграфа можно заключить, что сколько бы мы не построили таких треугольников, вершины их $c_2, e_2 \dots \dots$ будут лежать на одной прямой. Следовательно, искомое изображение точки C должно лежать та же на этой прямой.

Соединив $c_2e_2c_3$ и продолжив эту линию до пересечения с dd , получим действительное (уже не ложное) изображение точки C на плоскости скоростей - точку C'' , а Fr будет вектором абсолютной скорости точки C в системе координат. Она же будет скоростью точки C в системе координат DEC .

Скорости тягек Φ и E находятся обычным построением треугольников скоростей Pcd и Pce :

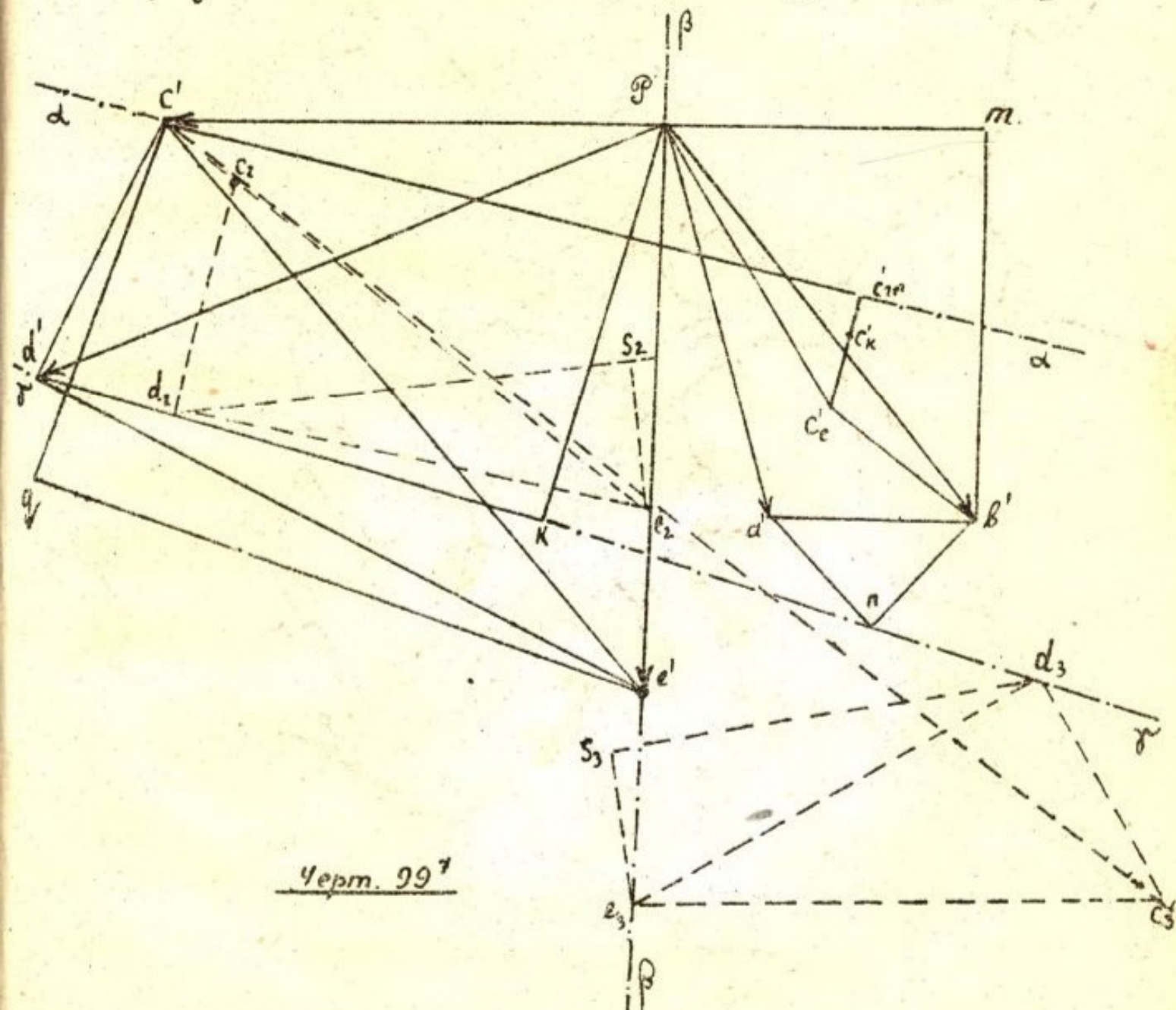
$$cf \perp CD; ce \perp CE$$

Для построения плана ускорений выберем палюс P' (черт. 99⁷) и проведем отрезок $P'a' \parallel \alpha_0$,

Длина отрезка $P'a'$ определяется из равенства:

$$P'a' = \frac{a_0 \cdot A \cdot d \cdot \omega^2}{\gamma^2} \text{ мм.}$$

где γ^2 - масштаб плана ускорений $[1 \text{ мм} - \gamma^2 \frac{\text{м}}{\text{сек}^2}]$



Черт. 99⁷

ЧЕРЕЗ точку a' проведем линию параллельную AB и отложим на неё отрезок $a'n$, выражаящий в принятом масштабе $W_{B(A)}$:

$$a'n = \frac{W_{B(A)}}{\gamma^2} = \frac{v_{B(A)}^2}{A \cdot B \cdot d \cdot \gamma} = \frac{\bar{a} \cdot \bar{b}^2 \cdot \beta^2}{A \cdot B \cdot d \cdot \gamma} \text{ мм.}$$

ЧЕРЕЗ точку P' проведем линию параллельную BO_2 и отложим на неё отрезок $P'n$, выражаящий в принятом масштабе $W_{B(O_2)}$:

$$\rho_m = \frac{w_{B(O_2)}}{B O_2 \cdot \alpha} = \frac{\bar{\rho} \beta^2 \beta^2}{B O_2 \cdot \alpha} \text{ м.}$$

Перпендикуляры, составленные из концов отрезков \vec{P}_m и \vec{P}'_m , пересекутся в точке "Б", которая и будет изображением точки В на плоскости ускорений, при чем:

$$W_B = \bar{\rho} \beta' \cdot g \frac{m}{сек^2}$$

$$W_B^t = m \bar{\beta}' \cdot g \quad ---$$

$$W_{B(A)}^t = n \bar{\beta}' \cdot g \quad ---$$

Ускорение точки С, рассматривая ее в системе отсчета $O_2 B$, найдем построением $\triangle P'B'C'$ подобного $\triangle O_2 BC$.

Вектор $P'C'$ и будет выражать в принятом масштабе ускорение точки С в системе отсчета $O_2 B$, он же будет выражать переносное ускорение точки, если ее рассматривать в системе координат. В последнем случае ускорение точки С определяется геометрическим равенством:

$$\bar{W}_e = W_c^n + \bar{W}_c^o + \bar{W}_e^k,$$

где \bar{W}_e — абсолютное ускорение точки С,

W_c^n — переносное — — — — —

W_c^o — относительное — — — — —

W_e^k — Кориолисово — — — — —

Для построения четырехугольника ускорений через конец вектора P'_C' изображающего W_c^n , проводим линию параллельную СО (радиус дуги В, В₂) и на ней откладываем отрезок C'_C_k' , выражающий W_e^k (Кориолисово ускорение будет направлено от С к О, что легко установлено на основании известных правил).

Длина отрезка C'_C_k' определяется из уравнения:

$$C'_C_k' = \frac{W_e^k}{g} = \frac{2 \cdot W_c^o \omega_{B(O_2)}}{g^2} = \frac{2 \cdot \bar{\beta} \cdot \bar{\beta} \cdot \bar{\rho} \cdot \beta^2}{g^2 \cdot B O_2 \cdot \alpha} = \frac{2 \cdot \bar{\beta} \cdot \bar{\rho} \cdot \beta^2}{B O_2 \cdot \alpha \cdot g}$$

На продолжении отрезка C'_C_k' откладываем отрезок